

北京

比例积算器

BI LI

JI SUAN

QI



北京自动化技术研究所附属工厂

出版单位: 北京自动化技术研究所
附属工厂

地 点: 北京鼓楼西大街 64 号

电 话: 44.4358 号

印刷单位: 北京印刷三厂

出版日期: 一九七三年十一月



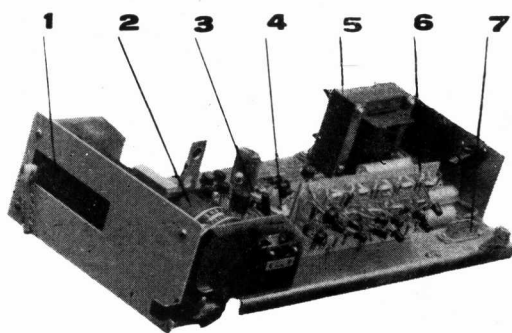
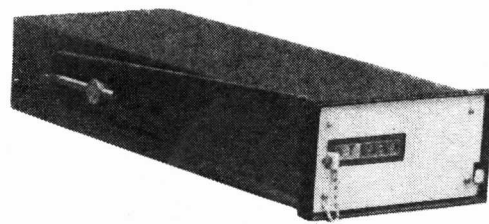
毛 主 席 语 录

路 线 是 个 纲， 纲 举 目 张。

鼓 足 干 劲， 力 争 上 游， 多 快 好 省 地

建 设 社 会 主 义。

比例积算器外形及内部结构照片



1—六位机械计数器；2—永磁步进电机；3—比例关系调节电位器 W_1 ；
4—基准电压调节电位器 W_2 ；5—电源变压器；6—分频及驱动回路印刷板；7—插座

目 录

一、用 途	1
二、技术指标.....	1
三、工作原理简述.....	2
四、主要参数选择.....	3
五、线路工作原理.....	3
六、误差分析和精度调整.....	6
七、仪表结构与安装.....	9
八、仪表开箱与储藏.....	10
九、仪表校验、使用与维护.....	10
十、仪表检修.....	11
附录 1. 原理线路图	13
附录 2. 元件明细表.....	14

一、用 途

DXS-102 型比例积算器与流量变送器配用，或与差压变送器及开方器联用，可积算管道中各种流动性物质的物质量（以体积或重量表示）。

二、技 术 指 标

1. 输入信号：0~10 毫安直流。
2. 截止电流： $\leqslant 0.2$ 毫安直流。
3. 基本误差： $\leqslant \pm 0.5\%$ (满刻度)。
4. 输入阻抗： $\leqslant 200$ 欧。
5. 显示方式：六位机械数字显示，带手动回零。
6. 显示速度：额定显示数字 1000 字/小时。
7. 供电电源： 220^{+20}_{-30} 伏，50±1 赫工业电网直接供电。
8. 消耗功率：6 瓦。
9. 绝缘电阻： $\geqslant 50$ 兆欧 (室温及相对湿度 $\leqslant 85\%$ 条件下)。
10. 环境温度变化影响：在仪表允许使用温度范围内，温度每变化 20°C ，仪表附加误差不大于基本误差。
11. 电源电压波动影响：电源电压在 220^{+20}_{-30} 伏范围内波动时，仪表附加误差不大

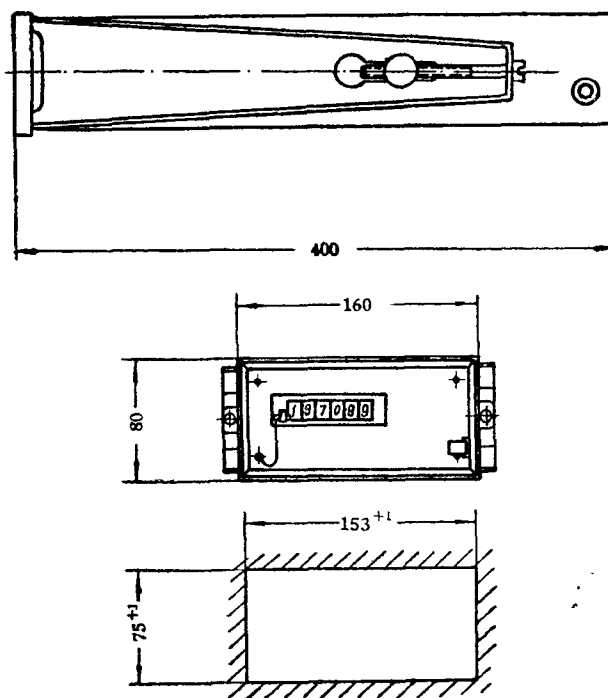


图 1 比例积算器外形及开孔尺寸图

于基本误差。

12. 工作条件:

- (i) 环境温度: $0 \sim +45^{\circ}\text{C}$
- (ii) 相对湿度: $\leq 85\%$ 。
- (iii) 振 动: ≤ 0.1 毫米 (双振幅), 频率25赫。
- (iv) 外 磁 场: 5 奥斯特 (400安匝/米)。
- (v) 周围环境中不含腐蚀性、易爆性气体。

13. 仪表重量: 4.5 公斤。

14. 外形尺寸: $160 \times 80 \times 420$ (深) 毫米。 (图 1)

15. 仪表盘开孔尺寸: $75^{+1} \times 153^{+1}$ 毫米。 (图 1)

三、工作原理简述

比例积算器由图 1 所示之方框图中各部分组成。

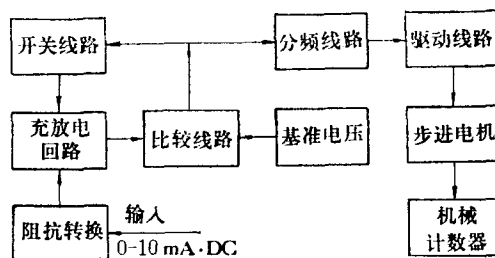


图 2

由流量变送器输入的 $0 \sim 10$ 毫安直流信号电流 I , 经阻抗转换电路对充放电电容 C_g (参见原理线路图) 进行恒流充电, 在 T 时间内充电至电压 V , 有如下关系:

$$V = \frac{IT}{C_g}.$$

当 V 与基准电压 E 相等时, 比较回路动作, 产生一个脉冲。此脉冲一方面使开关电路动作一次, 将 C_g 电荷放掉, 然后开始下一次充电过程; 一方面经分频和驱动电路, 驱动步进电机转动。

由于比较线路开始动作瞬间有如下关系:

$$V = \frac{IT}{C_g} = E,$$

而

$$T = \frac{1}{f},$$

式中 f —— 输出频率, 所以得:

$$f = \frac{I}{EC_g},$$

因此输出频率与输入电流成比例。同时, 步进电机的转角为:

$$\theta = K \int_0^t f dt ,$$

式中 K —— 常数，故

$$\theta = \frac{K}{EC_9} \int_0^t Idt ;$$

而 I 与流量成比例，所以 θ 表示在 t 时间内流过的总体积（或总重量）。

步进电机经减速箱带动机械计数器，进行显示；因此，显示的数值与流过的体积（或重量）成比例。

四、主要参数的选择

1. 步进电机：步距 12° ，输入 10 毫安时，工作频率 6 赫。

2. 减速箱齿轮减速比 i ：

计数器每小时 1000 字，即第一位计数齿轮每小时转 100 转。

进步机每小时数转 $6 \times 12 \times 3600 / 360 = 720$ 转/小时。

所以减速比 $i = 720 : 100 = 7.2 : 1$ 。

3. 选用分频触发器为 5 级，则 10 毫安信号电流时，充放电频率 $f = 6 \times 2^5 = 192$ 赫。

4. 取充放电电容 C_9 为 4 微法，则基准电压按下式计算：

$$E = \frac{I}{fC_9} = \frac{10 \times 10^{-3}}{192 \times 4 \times 10^{-6}} = 13 \text{ 伏。}$$

五、路线工作原理

1. 自动短接线路：

自动短接线路如图 2 所示，由稳压管 DW_1 和二极管 D_9 反向串联后焊接在接线端子上的输入信号源两端。

当正常工作时，输入电流与仪表的输入阻抗乘积小于 DW_1 的齐纳电压，信号电流全部输入仪表。当拔下接线插头时， DW_1 稳压在齐纳电压，而保证信号电流回路不断开。 D_9 对阻抗转换的电源电压 U_{1k} （参见图 4 及原理线路图）为反向接法，以防止由于 U_{1k} 的作用产生漏电流，而使仪表在无输入信号时发生错误动作。

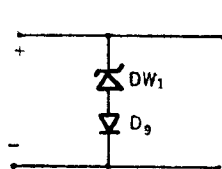


图 3

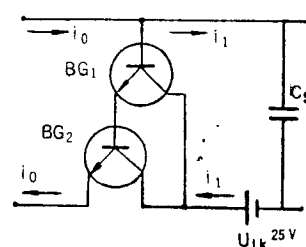


图 4

2. 阻抗转换线路:

阻抗转换线路如图 4 所示。其作用是使仪表具有较低的输入阻抗，当对电容 C_9 充电时其输出具有较高的输出阻抗，以保证 C_9 上电压线性增长，并且在电容充电过程中输入阻抗不致发生大幅度变化。此外，要求阻抗转换线路的输入和输出电流相等。因此采用两个晶体管组成的复合管共基极线路以满足上述要求。

在共基极线路中

$$i_1 = \alpha i_0,$$

式中 α 为复合管等效的共基极电流放大系数，

$$\alpha = \alpha_1 + \alpha_2 - \alpha_1 \alpha_2 \approx 1,$$

式中 α_1, α_2 分别为 BG_1, BG_2 的共基极电流放大系数。

共基极线路具有较低的输入阻抗和较高的输出阻抗，共基极接法的晶体管内部电压反馈系数 $h_{12} < 10^{-4}$ ，所以当充放电电容的电压有伏特级的变化时，其输入端只引起不到毫伏级的变化，因此能满足要求。

3. 单稳触发器和放电回路:

单稳触发器和放电回路如图 5 所示。当无触发脉冲时，单稳触发器的 BG_5 导通，

BG_4 截止。此时，由 R_{15}, R_{16} 分压，在放电管 BG_3 的基极上加一负电压，使其截止，保证电流 I 向 C_9 充电。

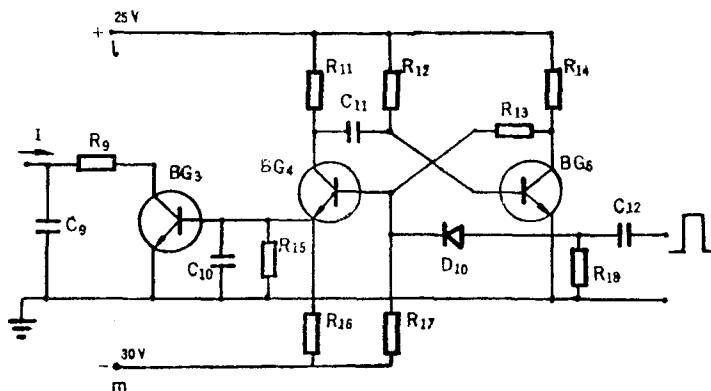


图 5

当有脉冲信号输入时，单稳翻转， BG_4 导通， BG_5 截止。此时在 BG_3 的基极上加一正电压，使其导通， C_9 即经 BG_3 放电。 BG_3 的导通时间决定于单稳宽度，而单稳宽度主要决定于 R_{12} 和 C_{11} 。

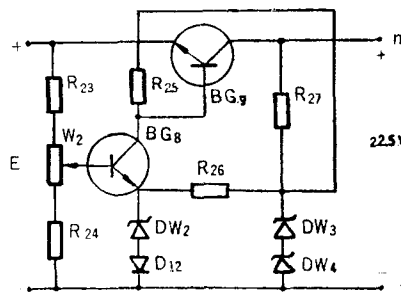
图中 R_9 为限制放电电流峰值之用，同时与 R_7, R_8, W_1 共同组成补偿回路（见“误差分析”一节）。

2. 基准电压线路:

基准电压线路如图 6 所示，系采用一般稳压线路。稳压线路的基准电压采用两级稳压管稳压。图中 BG_9 为调整管， BG_8 为放大管。

D_{12} 为进行温度补偿之用。

为了简化线路，放大管 BG_8 的电源由第一级稳压管 DW_3, DW_4 取出供给。



6 图

5. 比较线路:

图 7 所示为一振荡控制式电压比较线路。它由 BG_7 构成的开关及 BG_6 构成的间歇振荡器组成；若将 BG_7 的 e 和 c 短路则为一间歇振荡器。

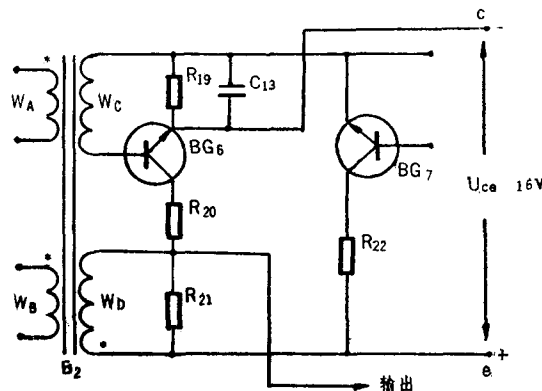


图 7

基准电压 E 与 C_9 上的电压按反极性串接，加在 BG_7 的 e 和 b 两点。在 C_9 起始充电时，b 对 e 为负， BG_7 截止；当 C_9 上的电压充电到略高于基准电压 E 时， BG_7 的 b 相对于 e 为正， BG_7 导通；这时由 BG_6 构成的间歇振荡器开始自振，其第一个振荡脉冲立即触发单稳触发器，控制 BG_3 导通，使 C_9 放电。 C_9 放电后， BG_7 的 b 相对于 e 重新为负， BG_7 截止，间歇振荡器停止振荡。

其参数的选择应保证振荡器的第一个脉冲产生到 C_9 开始放电的延迟时间小于间歇振荡器的振荡周期。

6. 分频和驱动线路:

分频器采用外加偏压的典型触发器线路，共五级（见原理线路图）。

驱动线路：由一级触发器 BG_{109} 、 BG_{110} 两管的发射极输出分别控制 BG_{111} 、 BG_{112} 两管轮流导通，使步进电机两绕组交替地通过电流，控制电机转动。

由于晶体管集电极回路具有电感性负载，因此接入二极管 D_{111} 和 D_{112} ，以便在断开电流时消除对集电极的反冲电压。

六、误差分析和精度调整

如果线路的工作是理想的，即当充放电电容的电压与基准电压相等时，电容瞬时放电完毕，则可得到：

$$f = \frac{I}{EC_9},$$

调整基准电压 E 使 f 达到需要的数值（192赫），就可满足精度要求。实际上，放电过程并不是在 C_9 电压与基准电压相等时瞬时完成的。从比较线路开始动作到电容开始放电存在一个延迟时间 T_2 ，放电管 BG_3 也有一个闭合时间 T_3 。因此，决定频率 f 的，不仅是从电容充电到比较线路开始动作的时间 T_1 ，还包括 T_2 和 T_3 ，即

$$f = \frac{1}{T_1 + T_2 + T_3};$$

充放电过程的实际电压波形如图 8 所示。

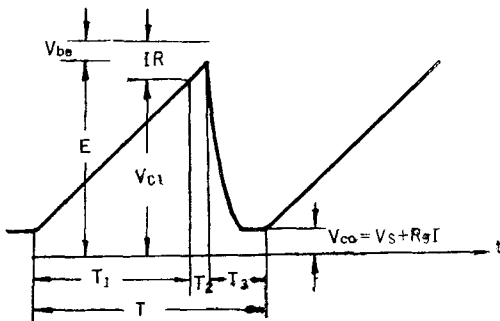


图 8

为了补偿 T_2 和 T_3 的影响，采用了由 R_9 和 R_7 、 R_8 、 W_1 组成的补偿线路（见原理线路图）。 R_8 与 W_1 并联后再与 R_7 串联的等效电阻以 R 表示，即

$$R = R_7 + \frac{R_8 W_1}{R_8 + W_1}.$$

设电容放电终了时的残留电压即下一次的起始充电电压为 V_{eo} ，则

$$V_{eo} = IR_9 + V_s,$$

式中 V_s —— BG_3 的管压降。

设在比较线路开始动作时电容 C_9 上的电压为 V_{c1} ，则

$$V_{c1} + IR = E + V_{be},$$

式中 V_{be} ——打开 BG_7 发射结及二极管 D_{11} 两个 P-N 结所需的电压。

T_1 由下式决定：

$$T_1 = \frac{(V_{c1} - V_{eo})C_9}{I},$$

将 V_{ce} 和 V_{c1} 的表示式代入上式得：

$$T_1 = \frac{[CE + V_{be} - IR] - (IR_g + V_s) C_g}{I}.$$

由于线路工作时的实际频率系由 T_1 、 T_2 、 T_3 决定，所以：

$$f = \frac{1}{T_1 + T_2 + T_3} = \frac{1}{\frac{(E + V_{be} - V_s) C_g}{I} - C_g (R + R_g) + T_2 + T_3}.$$

如果调整线性调节电位器 W_1 ，使

$$C_g (R + R_g) = T_2 + T_3,$$

则得

$$f = \frac{I}{(E + V_{be} - V_s) C_g},$$

而此式中 V_{be} 、 V_s 为常数，所以 f 与 I 成比例；这样，调整满度调节电位器 W_2 改变基准电压 E ，就可使 f 满足精度要求。

根据第四节“主要参数的选择”，输入电流值和相对应的输出频率、周期理论值如表 1 所列：

表 1

电 流 (毫安)	频 率 (赫)	周 期 (微秒)
10	192	5208.3
7	134.4	7440.5
4	76.8	13020.8
1	19.2	52083

具体调整方法如下：

用标准电阻和数字电压表（或电位差计）测量输入信号电流，将仪表的“频率输出”两端接入频率计测量周期。

输入电流调至 1 毫安，调整 W_2 ，测得周期为 52083 微秒，然后将输入电流调至 10 毫安，调整 W_1 ，使周期为 5208.3 微秒。再将输入电流调至 1 毫安，此时周期已不再是 52083 微秒，再调 W_2 ，使周期为 52083 微秒。这样反复几次，使 1、10 毫安两点的周期接近理论值，再测量 4、7 毫安两点，计算出最大频率偏差 Δf_{max} ，使满度误差 $\Delta f_{max}/192$ 小于 0.5%，调整完成。

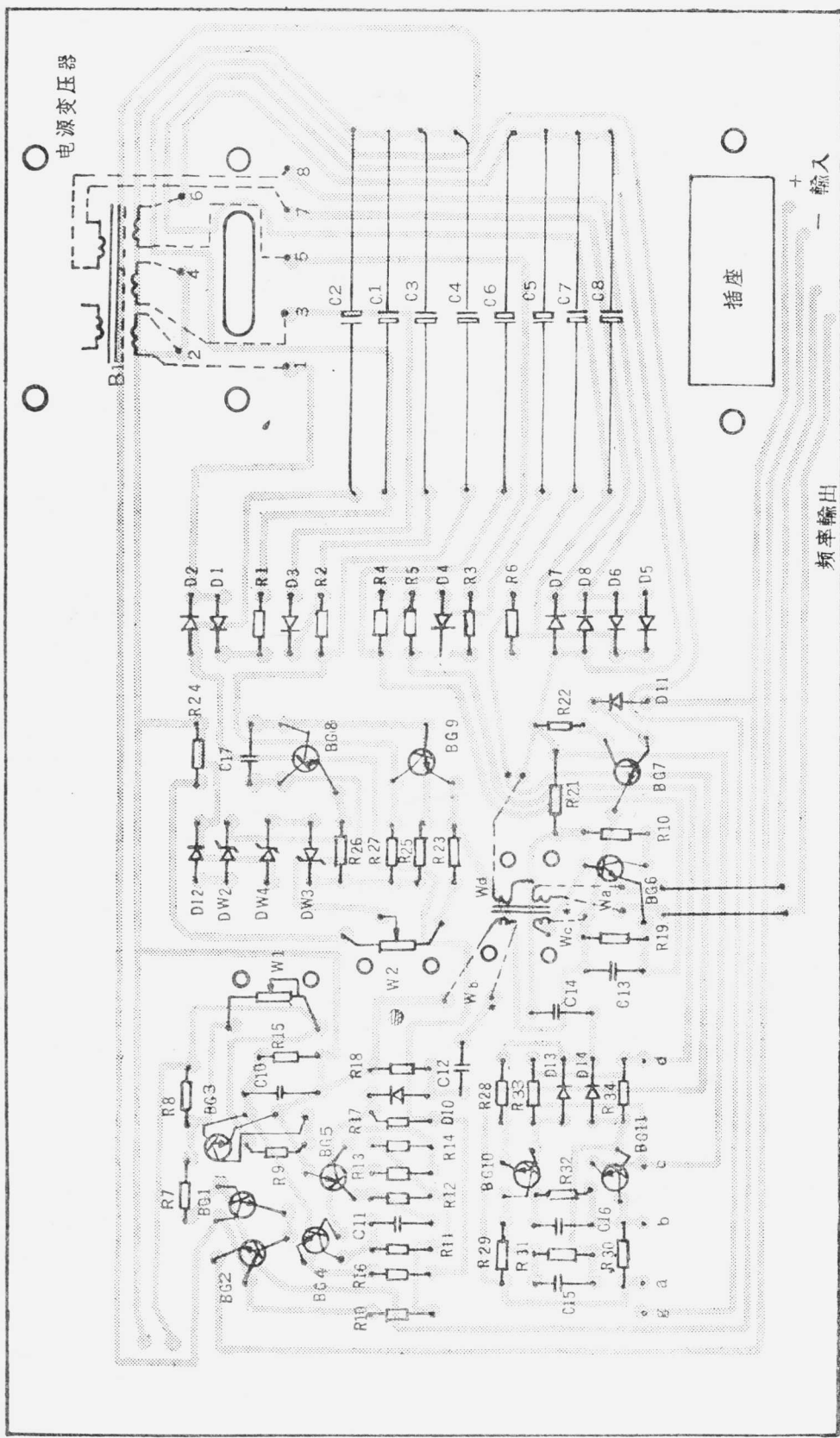


图 9

七、仪表结构与安装

本仪表为横面板式结构（外形图见封三）。

仪表分箱体和底盘两部分。底盘前端右侧有脱勾机构，当拉出底盘时，须拉动面板右下方的脱扣拉手，使脱扣勾键转动，离开箱体下面的方孔，即可拉出。底盘尾部右侧有卡簧机构，当底盘即将拉出箱体时，它的卡簧片自动与箱体右侧方孔卡住，以防脱落；若要取出底盘，须拨动卡簧片。仪表面板左侧有机械计数器的回零按钮，在运行时要注意防止误回零。

固定在箱体后端的接线端子板，用软导线和24芯插头与底盘连接，以便实现仪表

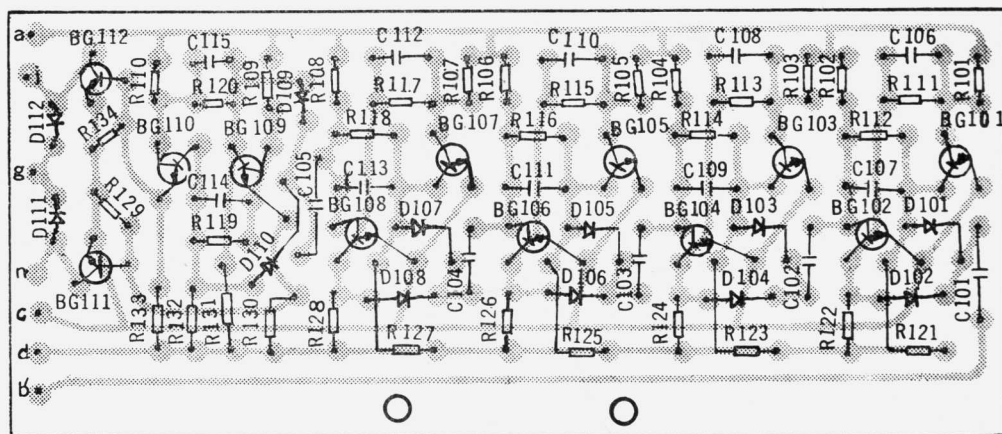


图 10

仪表内部各部件之间的接线如图11所示，

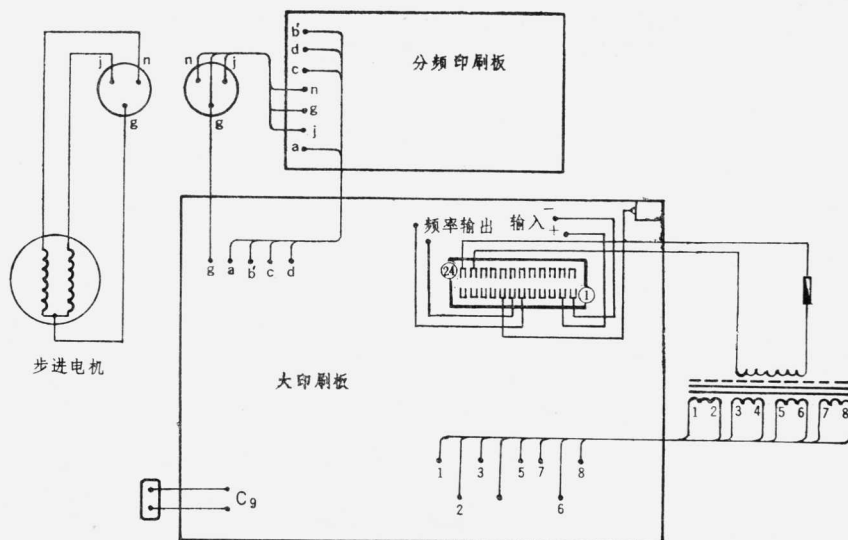


图 11

与外部的电联系。自动短接线路的元件 DW₁、R₉ 接在端子板上，其它线路部件和元件全部装在底盘上（见封三内部结构照片）。

分频线路第二、三、四、五级及驱动线路焊在立装的小印刷板上，线路中其他电气元件焊在大印刷板上。大印刷板和分频线路印刷板的元件布置分别如图 9 和图 10 所示。

仪表按如下步骤进行安装和接线：

1. 将仪表箱体两侧的支架板上的螺栓拧松，取下支架板、螺栓、螺丝套及仪表两侧的出线橡皮圈。

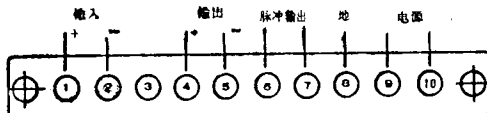


图 12

2. 由控制盘前将仪表推进去，在控制盘后面将仪表支架板按原来位置装好，拧紧螺栓，仪表便卡在控制盘的面板上。

3. 交流电源和信号输入线分别从两侧孔引入，打开仪表后盖，按仪表后面接线端子牌标记接线。如图 12 所示。

八、仪表的开箱和储藏

仪表开箱时，应避免用力过大以致损伤仪表或碰坏仪表漆层。如果在严寒或酷暑的地方开箱时，仪表应至少先在室内环境放置 3 小时。

仪表储藏时应尽可能存放在温度为 10°~35°C、相对湿度不超过 80% 及空气中无腐蚀性杂质的室内。

整箱仪表应有：

1. 比例计算器 1 台，
2. 产品合格证书 1 份，
3. 仪表使用说明书 1 份。

九、仪表的校验、使用和维护

在使用前应对仪表的基本性能进行校验。按图 12 所示的端子板标记正确接线，用一恒流单元给出 0~10 毫安电流，并以 0.2 级直流毫安表测量。将输入信号电流调至 10、7、4、1 毫安，各运行一小时，机械计数器显示数字的理论值如表 2 所列，各点偏差不应超过 5 个字。

表 2

输入电流 (毫安)	10	7	4	1
显示数字	1000	700	400	100

使用仪表时应注意下列事项：

1. 仪表接端子板标记正确接线，并应良好接地。

2. 仪表应保持清洁，特别防止灰尘沾污机械转动部分，并防止有关固紧螺钉松动，以免机械部分失灵。

3. 电位器 W_1 、 W_2 应避免松动，否则影响精度。

4. 仪表内晶体管损坏时，除分频、驱动线路及阻抗转换线路外，更换其它任一晶体管都会影响仪表精度，需重新调整。

5. 200伏交流电源及信号电流应同时接入，避免在交流电源不存在时，只有信号电流较长时间地输入仪表，以致损坏阻转换线路的晶体管。

6. 当拉出底盘时，在插座下部有 220 伏交流电，应注意防止触电。

十、仪 表 检 修

当仪表发生故障时，首先判断是电路部分还是电机及其它机械部分发生故障。方法是用万用表（直流电压，50 伏档）测量 n 或 j (+) 对 g (-) 两点间即底盘上步进电机接线用的三角插头座的两点是否有摆动（此时信号电流不宜过大），若表针有摆动，而计数器不计数，则说明是步进电机或机械计数器部分发生故障。

若系电路部分发生故障，可参考如下步骤进行检查：

1. 检查电源部分，在正常情况下（无信号流输入时）各点电压应如表 3 所列：

表 3

U_{lk}	U_{km}	U_{hf}	U_{ee}	U_{dc}	U_{ac}
+ 25 V	+ 30 V	+ 22.5 V	+ 16 V	+ 9 V	- 12 V

2. 检查基准电压，应为 13 伏左右。

3. 当有信号电流输入时，首先观察电容 C_9 两端有无锯齿波电压，波形如图 13 所示，幅值约为 13 伏，周期 T 与信号电流的大小成反比。

若锯齿波电压正常，而电机不转动，则应逐级检查分频及驱动线路部分。

4. 如电容 C_9 上无锯齿波电压，可测量电容 C_9 上有无直流电压。如果没有直流电压，则故障原因可能是：

(i) 阻抗转换线路晶体管损坏；

(ii) 放电管 BG_3 的 e 、 c 短路；

(iii) 单稳触发器工作不正常。无触发脉冲输入时， BG_4 应截止 (e 、 c 两点电压约 22 伏)， BG_5 应导通；若无触发脉冲输入时， BG_4 仍导通，就使 BG_5 导通，信号电流即不能对 C_9 充电。

5. 若电容 C_9 上存在直流电压，则进一步作如下检查：

(i) 用示波器观察 R_{18} 两端，应有脉冲信号输出，其波形如图 13 所示。

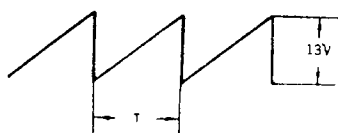


图 13

(ii) 若 R_{18} 两端有如图 14 所示波形，而 BG_4 的 e、c 两端有如图 15 的波形，则说明单稳正常，此时需检查 BG_3 是否损坏。

(iii) 若 R_{18} 两端波形正常，而 BG_4 的 e、c 两点无波形输出，则说明单稳工作不正常。

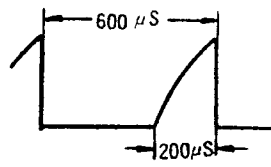


图 14

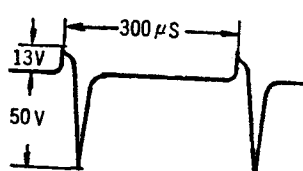


图 15

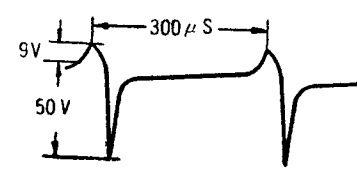


图 16

(iv) 若 R_{18} 两端无波形输出，则应进一步检查比较线路。可将 D_{11} 取下，并将 BG_7 的 e、c 两点短接，观察 W_D 绕组两端，在正常情况下应有如图 16 的波形。

(v) 若上述波形正确，则应再检查 BG_7 、 D_{11} 是否损坏。

6. 精度的校验可参阅“误差分析和精度调整”一节。

7. 在检修时更换晶体管可按如表 4 所示参数范围选择。

表 4

符 号	型 号	数 量	参 数 范 围 及 测 试 条 件
$BG_1, BG_2,$	3 DG 4 E	2 只	$V_{ceo} \geq 40V, V_{cbo} \geq 40V$ $\beta \geq 60$ (测试条件: 20V, 10mA)
BG_3	3 DW 24 A	1 只	$V_{ceo} \leq 25V, V_{ces} < 0.4V$ $\beta \geq 30$ (测试条件: 5V, 10mA)
BG_4, BG_5	3 DG 403	1 对	$V_{ceo} \geq 40V, \beta \geq 40$ (测试条件: 20V, 10mA) β 要求配对性 $\leq 10\%$
BG_6, BG_7, BG_8, BG_9	3 DG 403	4 只	$V_{ceo} \geq 40V$ $\beta \geq 40$ (测试条件: 20V, 10mA)
$BG_{10}, BG_{11}, BO_{101},$ $BG_{102}, BG_{103}, BG_{104},$ $BG_{105}, BG_{106}, BG_{107},$ $BG_{108}, BG_{109}, BG_{110}$	3 DG 6 C	6 对	$V_{ceo} \geq 20V, \beta: 70 \sim 110$ β 配对性 $\leq 10\%$ (测试条件: 0.5V, 10mA) 用曲线配对
BG_{111}, BG_{112}	3 DG 7 C	1 对	$V_{ceo} \geq 45V, \beta: 60 \sim 110$ β 配对性 $\leq 10\%$ (10V, 10mA)